

УДК 535.24

## ЯРКОСТНЫЕ ХАРАКТЕРИСТИКИ РЕЛЬЕФНЫХ ОБЪЕКТОВ НА ПЛОСКОСТИ

*С. П. Мезенцев, Г. К. Холопов и Ю. А. Шуба*

Рассматривается задача по расчету яркости и освещенности в различных точках плоскости и лежащего на ней выпуклого тела, освещаемых внешними источниками света.

Для оценки контрастных характеристик рельефных объектов, наблюдаемых на отражающей плоскости, представляет интерес распределение яркости по объекту и плоскости, соответствующее определенным

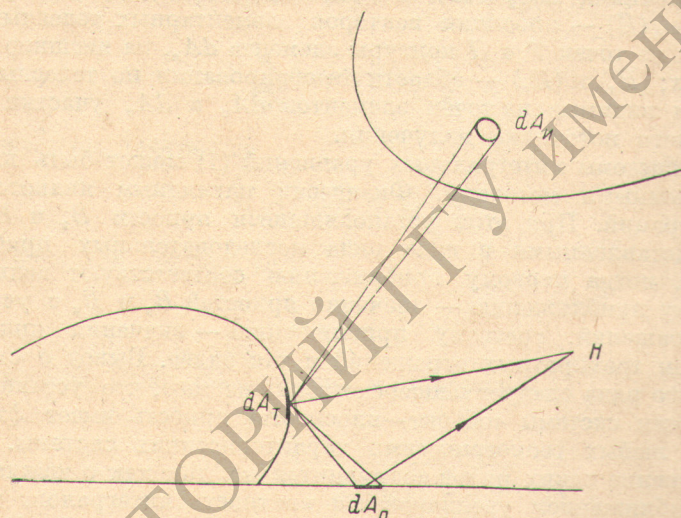


Рис. 1. Система «выпуклое тело — плоскость», освещаемая внешними источниками света.

*T* — выпуклое тело, *P* — плоскость, *I* — источники подсветки, *H* — направление наблюдения.

условиям освещения системы «объект — плоскость» и условиям наблюдения. Это распределение яркости формируется как прямым световым потоком внешних для данной системы источников излучения, так и световыми потоками обмена излучением между объектом и плоскостью.

Рассмотрим выпуклое тело произвольной формы, лежащее на плоскости (рис. 1). Выделим на поверхности тела элемент  $dA_T$ , включающий точку  $T$ , а на плоскости — элемент  $dA_P$ , включающий точку  $P$ . Для рассматриваемой системы яркости указанных элементов в направлении наблюдателя  $H$  определяются выражениями, следующими из [1] (стр. 212)

$$\left. \begin{aligned} B_T(H) &= B'_T(H) + \int_{(P)} B_{II}(T) \beta_T(P, H) df_T(P), \\ B_{II}(H) &= B'_{II}(H) + \int_{(T)} B_T(P) \beta_{II}(T, H) df_{II}(T). \end{aligned} \right\} \quad (1)$$

Здесь соответственно  $B_{\text{т}}(T)$  и  $B_{\text{п}}(\Pi)$  — установившиеся в результате многократных отражений яркости элемента  $dA_{\text{т}}$  в направлении к элементу  $dA_{\text{т}}$  и элемента  $dA_{\text{п}}$  в направлении к элементу  $dA_{\text{п}}$ ;  $\beta_{\text{т}}(T, H)$  и  $\beta_{\text{п}}(\Pi, H)$  — коэффициенты яркости в направлении к  $H$  элемента  $dA_{\text{п}}$  при освещении с направления от  $dA_{\text{т}}$  и элемента  $dA_{\text{т}}$  при освещении с направления от  $dA_{\text{п}}$ ;  $d\omega_{\text{т}}(\Pi)$  и  $d\omega_{\text{п}}(T)$  — элементарные угловые коэффициенты связи ([<sup>1</sup>], стр. 62) равномерно диффузно отраженных потоков, равные соответственно  $(1/\pi)d\omega_{\text{т}}(\Pi)$  и  $(1/\pi)d\omega_{\text{п}}(T)$ , где  $d\omega_{\text{т}}(\Pi)$  и  $d\omega_{\text{п}}(T)$  — проекции векторов элементарных телесных углов ([<sup>2</sup>], стр. 360), стягивающих из точки  $T$  контуры  $dA_{\text{п}}$  и из точки  $\Pi$  контуры  $dA_{\text{т}}$ , на внешние нормали в точках  $T$  и  $\Pi$ ;  $(\Pi)$  и  $(T)$  — области интегрирования по телесным углам, стягивающим видимые из точек  $T$  и  $\Pi$  участки поверхности соответственно плоскости и тела;  $B'_{\text{т}}(H)$  и  $B'_{\text{п}}(H)$  — яркости элементов  $dA_{\text{т}}$  и  $dA_{\text{п}}$  в направлении к  $H$ , создаваемые прямым потоком от внешних источников излучения,

$$\left. \begin{aligned} B'_{\text{т}}(H) &= \frac{1}{\pi} \int_{(U_{\text{т}})} B_{\text{т}}(T) \beta_{\text{т}}(H, H) d\omega_{\text{т}}(H), \\ B'_{\text{п}}(H) &= \frac{1}{\pi} \int_{(U_{\text{п}})} B_{\text{п}}(\Pi) \beta_{\text{п}}(H, H) d\omega_{\text{п}}(H), \end{aligned} \right\} \quad (2)$$

где  $B_{\text{т}}(T)$  и  $B_{\text{п}}(\Pi)$  — яркости некоторого элемента  $dA_{\text{п}}$  на поверхности внешнего источника излучения в направлении элементов  $dA_{\text{т}}$  и  $dA_{\text{п}}$ ;  $d\omega_{\text{т}}(H)$  и  $d\omega_{\text{п}}(H)$  — проекции векторов элементарных телесных углов, стягивающих из точек  $T$  и  $\Pi$  контуры элемента  $dA_{\text{п}}$ , на внешние нормали в этих точках;  $(U_{\text{т}})$  и  $(U_{\text{п}})$  — области интегрирования по телесным углам, стягивающим видимые из точек элементов  $dA_{\text{т}}$  и  $dA_{\text{п}}$  участки поверхности внешнего источника излучения.

Решение системы интегральных уравнений (1) может быть выполнено только численными методами. Физически наглядным является метод простых итераций. При этом установившиеся яркости  $B_{\text{т}}$  и  $B_{\text{п}}$  оказываются представленными в виде ряда последовательных приближений такого вида, когда первому приближению соответствуют величины  $B'_{\text{т}}$  и  $B'_{\text{п}}$ , второму приближению — значения яркостей  $B_{\text{т}}$  и  $B_{\text{п}}$  с учетом двухкратных отражений, третьему приближению — значения яркостей  $B_{\text{т}}$  и  $B_{\text{п}}$  с учетом трехкратных отражений и так далее. Вывод о сходимости итерационного ряда следует непосредственно из того, что установившаяся по поверхности системы «объект—плоскость» яркость имеет физический предел при любых геометрических характеристиках системы. Практически применение таких рядов затруднительно, так как с каждым последующим приближением увеличивается кратность интегралов, входящих в выражения для их членов. Решение системы уравнений (1) в общем виде затруднено тем, что угловые зависимости коэффициентов яркости  $\beta_{\text{т}}$  и  $\beta_{\text{п}}$ , как правило, не могут быть заданы аналитически. Поэтому решение рассматриваемой задачи обычно проводится в приближении равномерно диффузного отражения излучения от тела и плоскости, а также независимости их коэффициентов отражения  $\rho_{\text{т}}$  и  $\rho_{\text{п}}$  от угла падения [<sup>3</sup>, <sup>4</sup>].

Рассмотрим в этом приближении конкретную задачу расчета распределения яркости по поверхности выпуклого тела и плоскости при их равномерно диффузном полусферическом освещении. Для удобства проведения расчетов и анализа результатов систему уравнений (1) целесообразно переписать применительно к освещенностям соответствующих элементов, принимая равной единице светимость равнояркой полусфера

$$\left. \begin{aligned} E_{\text{т}} &= \frac{1}{\pi} \left[ \omega_{\text{т}} + \rho_{\text{п}} \int E_{\text{п}} d\omega_{\text{т}}(\Pi) \right], \\ E_{\text{п}} &= \frac{1}{\pi} \left[ \omega_{\text{п}} + \rho_{\text{т}} \int E_{\text{т}} d\omega_{\text{п}}(T) \right], \end{aligned} \right\} \quad (3)$$

где соответственно  $E_{\text{т}} = \pi B_{\text{т}} / \rho_{\text{т}}$  и  $E_{\text{п}} = \pi B_{\text{п}} / \rho_{\text{п}}$  — освещенности элементов  $dA_{\text{т}}$  и  $dA_{\text{п}}$ ;  $\omega_{\text{т}}$  и  $\omega_{\text{п}}$  — проекции векторов телесных углов, заполняемых

в точках  $T$  и  $\Pi$  видимыми из них частями светящей полусфера, на внешние нормали в этих точках.

Решение системы уравнений (3) может быть записано в виде следующих рядов:

$$\left. \begin{aligned} E_t &= f_{t1} + \varrho_{tt} (f_{t2} + \varrho_{tt} [f_{t3} + \varrho_{tt} (f_{t4} + \dots)]), \\ E_{\pi} &= f_{\pi 1} + \varrho_{\pi t} (f_{\pi 2} + \varrho_{\pi t} [f_{\pi 3} + \varrho_{\pi t} (f_{\pi 4} + \dots)]). \end{aligned} \right\} \quad (4)$$

Коэффициенты рядов  $f_{ti}$  и  $f_{\pi j}$  удовлетворяют условию нормировки вида

$$\sum_{i=1}^{\infty} f_{ti} = \sum_{j=1}^{\infty} f_{\pi j} = 1, \quad (5)$$

так как при  $\varrho_t = \varrho_{\pi} = 1$  система уравнений (3) имеет тривиальное решение  $E_t = E_{\pi} = 1$  (поглощение излучения на элементах такой отражающей системы отсутствует).

Из того обстоятельства, что бесконечные ряды (5) угловых коэффициентов сходятся к единице, следует, что с возрастанием количества учитываемых отражений, начиная с некоторых  $i = N_i$ ,  $j = N_j$ , члены этих рядов быстро убывают. Известно, например, что при многократных отражениях внутри сферической полости убывание членов соответствующего ряда происходит по геометрической прогрессии с некоторым показателем  $k$  (начиная с первого члена [5]). Используя допущение, что такое убывание имеет место и в рассматриваемом случае, т. е.  $N_i = N_j = 1$ , получаем

$$\sum_{i=1}^{\infty} f_{ti} = \frac{f_{t1}}{1 - k_t} = 1, \quad (6)$$

откуда показатель прогрессии

$$k_t = 1 - f_{t1} = 1 - \frac{\omega_t}{\pi}. \quad (7)$$

Аналогично для другого ряда

$$k_{\pi} = 1 - f_{\pi 1} = 1 - \frac{\omega_{\pi}}{\pi}. \quad (7')$$

Суммирование рядов (4) приводит к результатам

$$E_t = \frac{\omega_t}{\pi} \frac{1 + \varrho_{tt} \left(1 - \frac{\omega_t}{\pi}\right)}{1 - \varrho_{tt} \varrho_{\pi} \left(1 - \frac{\omega_t}{\pi}\right)^2} \quad (8)$$

и

$$E_{\pi} = \frac{\omega_{\pi}}{\pi} \frac{1 + \varrho_{\pi t} \left(1 - \frac{\omega_{\pi}}{\pi}\right)}{1 - \varrho_{\pi t} \varrho_{\pi} \left(1 - \frac{\omega_{\pi}}{\pi}\right)^2}. \quad (8')$$

Подстановка решений (8) и (8') в исходное интегральное уравнение (3) приводит к следующим выражениям:

$$E_t = \frac{\omega_t}{\pi} + \varrho_{\pi} \int_{(\Pi)} \frac{\frac{\omega_{\pi}}{\pi} \left[1 + \varrho_{\pi} \left(1 - \frac{\omega_{\pi}}{\pi}\right)\right] \frac{d\omega_{\pi}(\Pi)}{\pi}}{1 - \varrho_{\pi} \varrho_{\pi} \left(1 - \frac{\omega_{\pi}}{\pi}\right)^2} \quad (9)$$

и

$$E_{\pi} = \frac{\omega_{\pi}}{\pi} + \varrho_t \int_{(T)} \frac{\frac{\omega_t}{\pi} \left[1 + \varrho_t \left(1 - \frac{\omega_t}{\pi}\right)\right] \frac{d\omega_t(T)}{\pi}}{1 - \varrho_t \varrho_t \left(1 - \frac{\omega_t}{\pi}\right)^2}. \quad (9')$$

Выражения (8) и (8'), (9) и (9') являются приближенными решениями системы интегральных уравнений (3) с учетом всего вклада многократных отражений.

На рис. 2—4 приведены результаты расчетов распределений освещенности по поверхности аксиально симметричных систем следующего вида: «полушар—плоскость», «цилиндр—плоскость», «конус—плоскость» и «шар—плоскость». Высоты цилиндра и конуса в рассматриваемом примере равны  $\pi R/2$ , где  $R$  — радиусы соприкасающихся с плоскостью оснований. Значения освещенностей в точках  $T$  и  $P$  тела и плоскости отложены вдоль оси ординат, значения аргументов  $\beta$  (или  $h$ ) и  $\alpha$ , однозначно

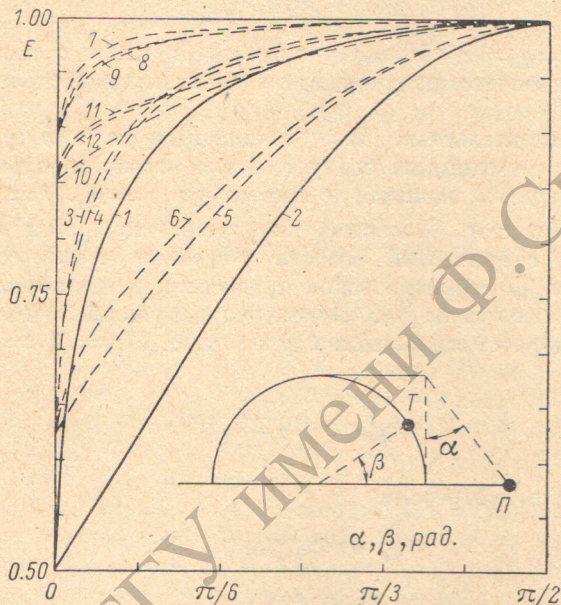


Рис. 2. Распределение освещенности по поверхности системы «полушар—плоскость».

1, 3, 4, 7, 8, 9 — по плоскости; 2, 5, 6, 10, 11, 12 — по полушиару; 1, 2 —  $\rho_T = \rho_P = 0$ ; 3, 4, 5, 6 —  $\rho_T = \rho_P = 0.4$ ; 7, 8, 9, 10, 11, 12 —  $\rho_T = 0.9$  и  $\rho_P = 0.8$ ; 1, 2, 3, 5, 7, 10 — расчет по (8) и (8'); 1, 2, 4, 6, 8, 11 — расчет по (9) и (9'); 1, 2, 4, 6, 9, 12 — расчет по (4) на ЭВЦМ.

определяющих положений точек соответственно  $T$  и  $P$  (схемы приведены на рисунках), вдоль оси абсцисс.

Представленные результаты подтверждают заключение ([<sup>2</sup>], стр. 422) о том, что возмущения, вносимые телом, распространяются на значительные по сравнению с максимальным линейным размером тела расстояния по плоскости, и в то же время свидетельствуют о значительности вклада многократных отражений в световое поле системы вблизи тела. Причем для построения общей картины учета лишь двукратных отражений, как это предлагалось ранее [<sup>3, 4</sup>], оказывается недостаточно. В областях, соответствующих значениям  $h \leq 1$  и  $\alpha \leq \pi/4$ , вклад многократных отражений особенно велик. В большинстве случаев распределение освещенности по поверхности системы «тело—плоскость», а следовательно, и яркости с практически достаточной точностью описывается выражениями (8) и (8'), которые в точках соприкосновения тела с плоскостью являются точными и в частном случае  $\rho_T = \rho_P$  согласуются с известным выражением для двугранного угла [<sup>6</sup>]. Вместе с тем для более точных расчетов в некоторых случаях может оказаться целесообразным использование выражений (9) и (9').

При проведении расчетов по (8) и (8'), (9) и (9') следует иметь в виду следующее обстоятельство. Вывод этих выражений основан на том предположении, что ряды коэффициентов  $f_{ti}$  и  $f_{pj}$  представляют собой гео-

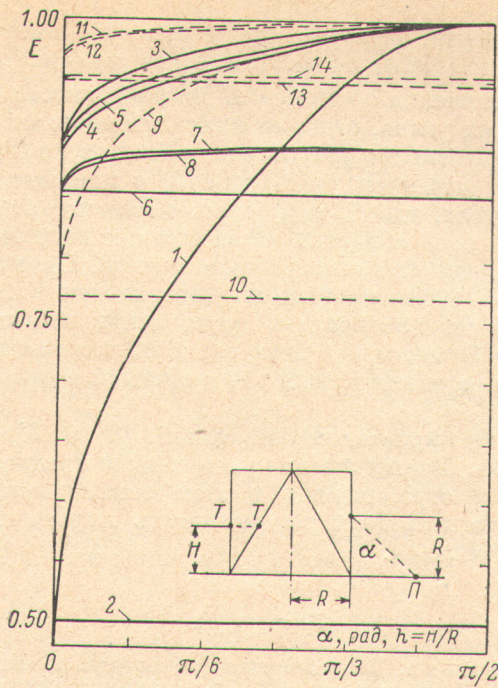


Рис. 3. Распределение освещенности по поверхности системы «цилиндр—плоскость» (1, 2, 3, 4, 5, 6, 7, 8) и «конус—плоскость» (9, 10, 11, 12, 13, 14).

1, 2, 9, 10 —  $\rho_T = \rho_{\Pi} = 0$ ; 3, 4, 5, 6, 7, 8, 11, 12, 13, 14 —  $\rho_T = 0.9$  и  $\rho_{\Pi} = 0.8$ ; 1, 2, 3, 6, 9, 10, 11, 13 — расчет по (8) и (8'); 1, 2, 4, 7, 9, 10, 12, 14 — расчет по (9) и (9'); 1, 2, 5, 8, 9, 10, 12, 14 — расчет по (4) на ЭВЦМ.

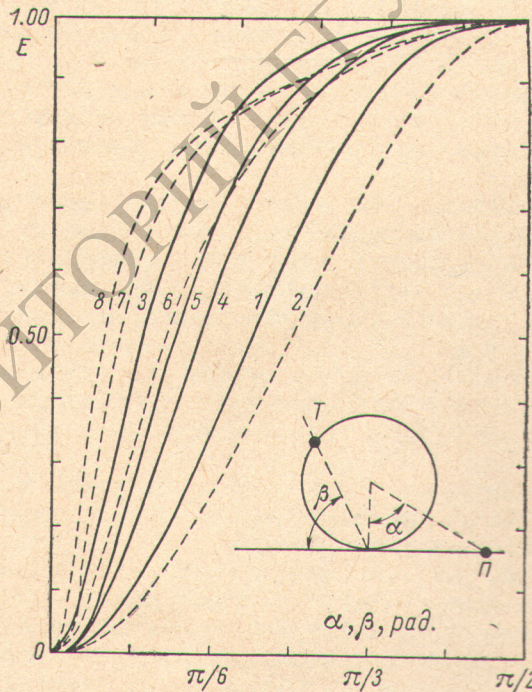


Рис. 4. Распределение освещенности по поверхности системы «шар—плоскость».

1, 3, 4, 5 — по плоскости; 2, 6, 7, 8 — по шару; 1, 2 —  $\rho_T = \rho_{\Pi} = 0$ ; 3, 4, 5, 6, 7, 8 —  $\rho_T = 0.9$  и  $\rho_{\Pi} = 0.8$ ; 1, 2, 3, 6 — расчет по (8) и (8'); 1, 2, 4, 7 — расчет по (9) и (9'); 1, 2, 5, 8 — расчет по (4) на ЭВЦМ.

метрические прогрессии. Как уже отмечалось, это имеет место для внутренней поверхности сферы, когда  $f_{ti}$  и  $f_{pi}$  не зависят от координат, характеризующих положения точек  $T$  и  $P$  на поверхности системы, а также в вершинах телесных углов, которые являются точками соприкосновения тела и плоскости. Сравнение результатов расчетов по (8) и (8') и результатов, полученных решением уравнений (3) с помощью ЭВЦМ, показывает, что в тех точках, где  $f_{ti}$  и  $f_{pi}$  сильно зависят от соответствующих координат (например, в областях вблизи точки соприкосновения сферы с плоскостью), погрешности относительно велики. Однако применительно к задачам расчетов интегральных по поверхности контрастных характеристик объектов на плоскости использование выражений (8) и (8') оказывается целесообразным и в этих случаях, так как площади наблюдаемых проекций зон, соответствующих максимальным погрешностям, всегда невелики.

Значительным преимуществом выражений (8) и (8') является то, что их вывод произведен безотносительно каких-либо предположений о форме тела. Единственным ограничением в этом смысле является требование его выпуклости. Это позволяет рекомендовать выражения (8) и (8') для практического применения.

#### Литература

- [1] Р. А. Сапожников. Теоретическая фотометрия. «Энергия», Л., 1967.
- [2] А. А. Гершун. Избранные труды по фотометрии и светотехнике. Физматгиз, М., 1958.
- [3] М. М. Гуторов, Е. А. Никитина. Светотехника, № 4, 18, 1967.
- [4] Е. А. Никитина. Светотехника, № 10, 24, 1967.
- [5] С. П. Детков. Светотехника, № 11, 25, 1963.
- [6] F. J. Kelly. Appl. Opt., 5, 925, 1966.

Поступило в Редакцию 20 августа 1975 г.  
В окончательной редакции 3 мая 1977 г.